

- спективная база нанотехнологий // Экология - XXI век. 2005. № 3(27). с. 90-91.
2. Волков Г.М. Технологические проблемы перехода от микро- к наносистемам консолидации дисперсных частиц вещества // Нано- и микросистемная техника, № 5, 2006. с. 34-37.
 3. Волков Г.М. Объемные наноматериалы – М.: «КноРус», 2011. 168 с.
 4. Волков Г.М., Татаринов В.Ф. Биоинженерный потенциал углерода // Нанотехника, 2007, № 2(10), с. 52-56.

Исследование обрабатываемости стали 75ХГФС

Волков Р.Б., Голобоков А.В., д.т.н. проф. Кузнецов В.А.. к.т.н. доц. Черепахин А.А.
ОАО «ОК-ЛОЗА», Университет машиностроения
8-926-7053600, aleksandr17780@yandex.ru, 8-916-3975806, tkm1410@yandex.ru

Аннотация. Рассмотрен характер износа многогранных неперетачиваемых твердосплавных пластин при точении экспериментальной высокоуглеродистой легированной стали 75ХГФС. Даны рекомендации по выбору формы пластин, углов режущей части и виду износостойких покрытий задних и передней поверхностей.

Ключевые слова: сталь, характер износа, передняя поверхность, задняя поверхность

В технологической лаборатории Университета машиностроения, по заданию ФГУП «ЦНИИЧермет им. И.П.Бардина», проводилось исследование обрабатываемости экспериментальной высокоуглеродистой легированной стали для подшипниковой промышленности (сталь 75ХГФС).

На начальном этапе исследований необходимо было установить требования к форме и геометрическим параметрам МНТП, применяемых для точения.

Для испытаний были поставлены прутки экспериментальной стали (таблица 1).

Таблица 1

Химический состав прутков стали 75ХГСФ

Ø прутка, мм	Изготовитель	Содержание элементов, масс. %							
		C	Si	Mn	Cr	V	P	S	[O]*
	Требования Протокола №1 от 08.06.2011	0,75 ... 0,80	0,50 ... 0,70	1,10 ... 1,30	0,45 ... 0,80	0,07 ... 0,15	≤ 0,025	≤ 0,020	≤ 0,0015
40	ЦНИИЧермет	0,79	0,64	1,22	0,76	0,12	0,015	0,005	0,0016
23	ЦНИИЧермет	0,71	0,63	1,24	0,66	0,08	0,010	0,009 ...	0,0017

Контроль химического состава выполнило ОАО «Лоза»; * - контроль выполнил ЦНИИЧермет

Для экспериментов выбраны наиболее распространенные в отечественной подшипниковой промышленности пластины из металлокерамического сплава системы CoroTurn 107-CCMT-UM-09T308 (ромб с углом при вершине 80°, главный задний угол 7°, вспомогательный угол в плане 7°) фирмы Sandvik Coromant, Швеция.

На задние поверхности МНТП было нанесено покрытие (TiCN) методом MT-CVD (среднетемпературное химическое покрытие). На переднюю поверхность было нанесено покрытие типа TiCN-Al₂O₃-TiN методом Low stress coating (MT-CVD – метод с последующей полировкой передней поверхности).

Для чистовой и получистовой токарной обработки характерны:

- относительно высокие скорости резания (по рекомендациям фирмы Sandvik Coromant, при получистовом и чистовом точении углеродистых хромомарганцевых сталей скорости резания лежат в интервале 80 ... 300 м/мин);
- относительно узкий диапазон глубин резания подач (исследования обрабатываемости среднеуглеродистых хромомарганцевых сталей Ташлинским Н.И., Подураевым В.Н., Баранчиковым В.И., Гуревичем Я.Л. и другими показали, что эти технологические параметры

ры лежат соответственно в интервалах 0,1 … 0,3 мм и 0,05 … 0,3 мм/об).

С учетом диаметров образцов и характеристик токарного станка для исследований выбраны следующие технологические режимы обработки (таблица 2).

Таблица 2

Режимы лезвийной обработки

Параметр	Скорость резания, м/мин	Подача на оборот, мм/об	Глубина резания, мм
min	78,5	0,07	0,1
max	251,2	0,28	0,25

Определение характера износа режущей части инструмента проводилось с помощью классического однофакторного эксперимента на предельных режимах (таблица 2). Через каждые 0,35 м осуществлялось цифровое фотографирование передней и задних поверхностей режущей пластины с одновременным замером шероховатости обработанной поверхности на профилограф - профилометре Калибр 201. Цифровая фотография поверхностей пластины проводилась на бинокулярном микроскопе МБС-9 (при увеличении x2; x4; x7) с помощью цифровой камеры – окуляра для микроскопа Levenhuk серия С. Для определения реального масштаба одновременно фотографировался объект – микрометр (стеклянная шкала 1 мм, цена деления 0,01 мм).

Экспериментальные исследования показали, что характер износа режущей части имеет ряд особенностей.

- На передней поверхности, в районе вершины резца в период приработки (0,1 … 0,2 м длины резания) происходит износ фаски и на поверхности появляется характерная светлая полоса (рисунок 1 α). Эта полоса остается на протяжении всего времени работы резца, не развиваясь в лунку. До длины резания 2,3 … 2,5 м износ по передней поверхности выражается в небольшом округлении главной режущей кромки.
- На длине резания 2,5 … 6,0 м интенсивность износа несколько возрастает. Износ выражается в появлении лунки износа, которая перемещается как в сторону вершины резца, так в противоположном направлении (рисунки 1 β , 1 γ). При длине резания 6 м интенсивность износа еще более возрастает. При этом начинается выкрашивание по вершине резца (рисунок 1 δ). Однако величина износа по передней поверхности незначительна (рисунок 2).

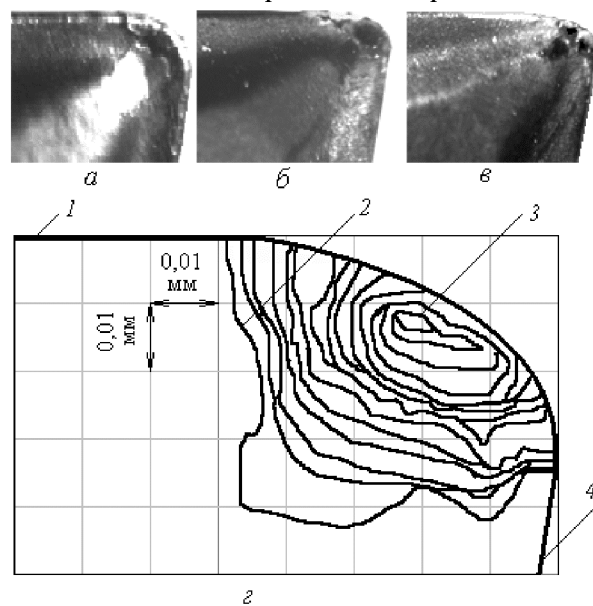


Рисунок 1 – Износ резца по передней поверхности: a – путь резания 0,2 м; b – путь резания 4,9 м; c – путь резания 7,0 м; d – изолинии износа по передней поверхности;
1 – вспомогательная режущая кромка; 2, 3 – изолинии износа
(путь резания 7,0 … 2,45 м); 4 – главная режущая кромка

Картина износа по главной задней поверхности неоднозначна. На этой поверхности на-

блюдается 3 вида износа: абразивный износ покрытия 3 (рисунок 3), адгезионное выкрашивание в районе вершины 2 и адгезионный износ 4 в зоне стертого покрытия.

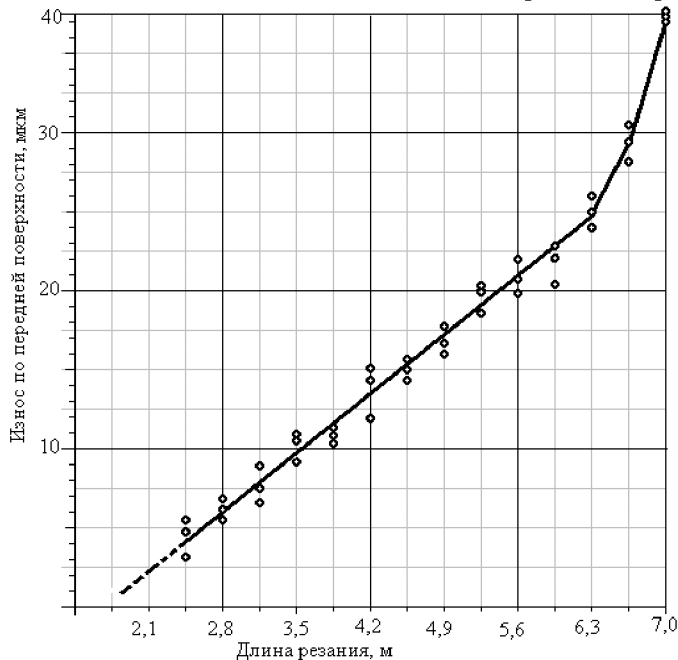


Рисунок 2 – Износ МНТП по передней поверхности: сталь 75ХГСФ; скорость резания 251,2 м/мин; подача 0,28 мм/об; глубина резания 0,25 мм

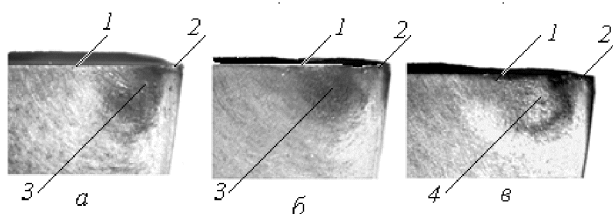


Рисунок 3 – Износ по главной задней поверхности: а – длина резания 1,05 м; б – 3,15 м; в – 5,25 м; 1 – главная режущая кромка; 2 – адгезионное выкрашивание в области вершины; 3 – абразивный износ покрытия; 4 – адгезионный износ

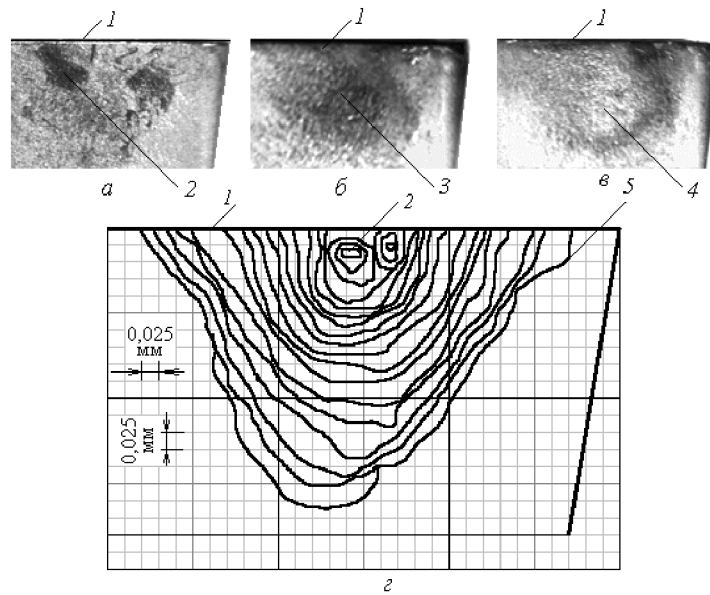


Рисунок 4 – Абразивный износ покрытия по главной задней поверхности: а – путь резания 0,1 м; б – 2,45 м; в – 5,25 м; г – изолинии абразивного износа покрытия (путь резания 0,1 ... 7,0 м); 1 – главная режущая кромка; 2 – пятна износа покрытия; 3 – пятно абразивного износа покрытия; 4 - адгезионный износ в зоне стертого покрытия

Наличие абразивного износа покрытия (рисунок 4) объясняется большим количеством карбидов в экспериментальной стали, что приводит к высокому истирающему эффекту (аналогичную картину износа можно наблюдать при точении углеродистых инструментальных сталей У8 ... У12).

На начальном этапе (обработка $\sim 0,1 \dots 0,3$ м) появляются пятна 2 (рисунок 4а) износа покрытия пластинки. При дальнейшей обработке (с $0,3$ м до $5,6 \dots 6,3$ м) эти пятна сливаются в единое пятно (рисунки 4б, 4в), которое растет с небольшой интенсивностью. Начиная с $2,8 \dots 4,55$ м обнажается сердцевина режущей пластинки, и абразивный износ покрытия переходит в адгезионный износ материала режущей пластинки (рисунок 4г). Примерно с 6 м интенсивность износа резко возрастает.

Одновременно с абразивным износом покрытия протекает адгезионный износ вблизи вершины резца (рисунок 5а).

В начальный период резания в районе вершины резца, на главной задней поверхности появляется светлая фаска 4 (рисунок 5б). Во время резания эта фаска развивается (на фотографии хорошо видны следы выкрашивания материала режущей пластинки), приводя к катастрофическому износу (изолиния 3).

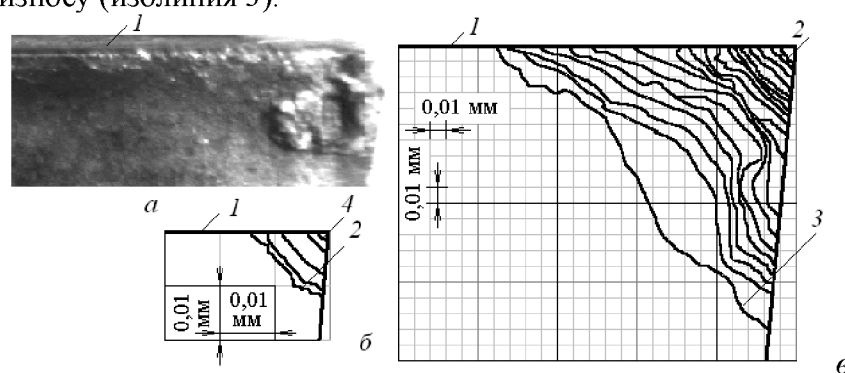


Рисунок 5 – Адгезионный износ по главной задней поверхности вблизи вершины резца:
а – путь резания 0,1 м; б – 2,45 м; в – изолинии адгезионного износа;
1 – главная режущая кромка; 2...4 – изолинии площадки износа (0,1 ... 7,0 м)

Наличие износа вспомогательной задней поверхности (рисунок 6) определяется упругим восстановлением обработанной поверхности.

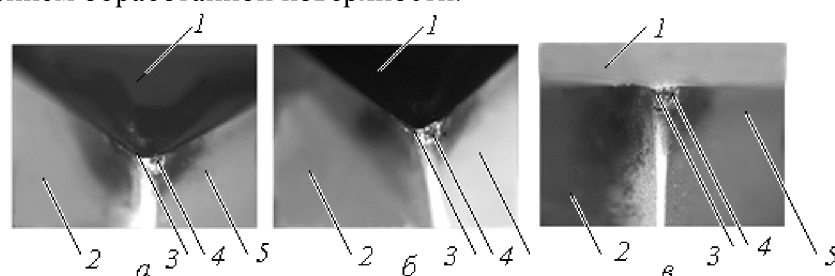


Рисунок 6 – Износ на вспомогательной задней поверхности:
а – путь резания 4,55 м;
б – 5,6 м;
в – 5,95 м;
1 – передняя поверхность;
2 – главная задняя поверхность;
3 – вершина;
4 – лунка износа;
5 – вспомогательная задняя поверхность

Внешний вид лунки износа по вспомогательной задней поверхности говорит о повышенном адгезионном износе. При этом по мере развития лунки трение увеличивается и она увеличивается как по высоте, так и по ширине.

Проведенные исследования позволяют сформулировать следующие выводы:

- новая подшипниковая сталь, с точки зрения обработки лезвийным инструментом, сочетает в себе свойства высокоуглеродистых и пружинных сталей, т.е. относится к труднообрабатываемым;
- для лезвийной обработки необходимо выбирать пластины с увеличенным главным задним углом и вспомогательным углом в плане: DCMX-WF; DCMT-MF; TCMX-WF; TCMT-MF по классификации Sandvik Coromant или CDMT, сплав TP20AM – ОАО

«КЗТС»;

- покрытие TiCN-Al₂O₃-TiN передней поверхности методом Low stress coating позволяет вести высокопроизводительное получистовое и чистовое точение;
- покрытие TiCN задних поверхностей методом MT-CVD не дает требуемой износостойкости пластины;
- для обеспечения высокой стойкости пластины необходимо применение износостойких мультислойных PVD покрытий задних поверхностей.

Литература

- Баранчиков В.И. Обработка специальных материалов в машиностроении. Справочник. Библиотека технолога: Баранчиков В.И., Тарапанов А.С., Харламов Г.А. М., Машиностроение, 2002. 264 с.
- Гузеев В.И. Режимы резания для токарных и сверлильно-фрезерно-расточных станков. Справочник: Гузеев В.И., Батуев В.А., Сурков И.В. М., Машиностроение, 2007. 366 с.
- Гуревич Я.Л., Горюхов М.В. Режимы резания труднообрабатываемых материалов. Справочник. М., Машиностроение, 1986. 268 с.
- Подураев В.Н. Резание труднообрабатываемых материалов. М., Высшая шк., 1974. 590 с.
- Руководство по металлообработке и каталоги продукции Sandvik Coromant (твердосплавный инструмент). Стокгольм, М., 2010. 415 с.
- Черепахин А.А., Кузнецов В.А. Технология конструкционных материалов. Обработка материалов резанием. М., изд. Академия, 2011. 287 с.

Критериальные конструктивно-технологические параметры оценки сложности отливок

Волкомич А.А., к.т.н. доц. Сорокин Ю.А.
ЗАО «Литаформ», Университет машиностроения
8(495)223-05-23, доб. 1589

Аннотация. При производстве отливок часто возникают задачи, связанные со сложностью их изготовления. Они носят как технический, так и экономический характер. Как правило, в условиях производства эти задачи решаются на основе практического опыта, основанного на субъективном характере при их оценке. В предлагаемой статье авторы, опираясь на принципы, заложенные в начале этих работ, предлагают методику по определению сложности отливок независимо от способа их изготовления по конструктивно-технологическим параметрам литой детали. Для каждой из групп были разработаны оценочные критерии их определения.

Ключевые слова: производство отливок, методика определения сложности отливок, конструктивно-технологические параметры литой детали

При производстве отливок часто возникают задачи, связанные со сложностью их изготовления [1, 2]. Они носят как технический, так и экономический характер. Как правило, в условиях производства эти задачи решаются на основе практического опыта, основанного на субъективном характере при их оценке.

Известно, что в советское время существовал прейскурант цен №25-01, в котором был представлен классификатор оценки шести групп сложности отливок, и в каждой группе были представлены примеры таких отливок. К сожалению, оценка сложности была привязана к способам литья, при этом критерии по оценке сложности отливок носили субъективный характер.

В начале 90-х годов были начаты работы по разработке классификатора сложности отливок, активное участие в ней принимали Трухов А.П., Мешков В.П. и авторы статьи.

К сожалению, из-за появления договорных цен и снижения заинтересованности предприятий к этому вопросу работы в этом направлении были временно свернуты.